





В подгруппе Б с применением полностью ректифицированной формы волны наряду с воспалительной реакцией по краю разреза определялись единичные очаги некроза, а к позднему послеоперационному периоду – уплощение эпителия конъюнктивы с фиброзом подлежащих тканей (рис. 6, 7).

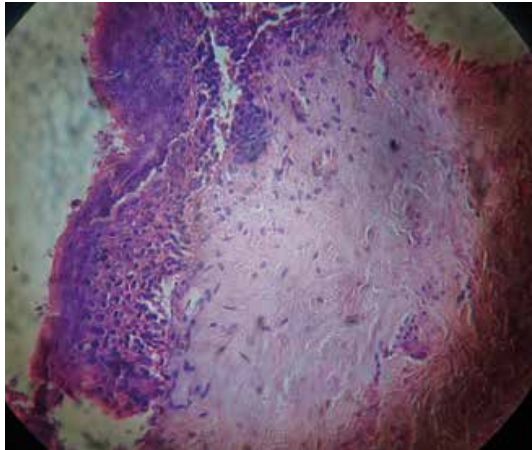


Рис. 4. Биоптат контрольной группы (ранний послеоперационный период). Лейкоцитарная инфильтрация тканей на 3-и сутки после операции с применением металлического инструмента, признаки хронического воспаления. Окраска гемотоксилином и эозином. Ув. x140

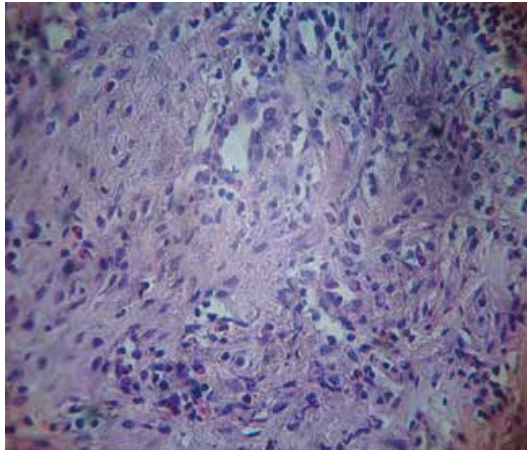


Рис. 5. Биоптат контрольной группы (поздний послеоперационный период). Разрастание соединительной ткани на 6-е сутки после операции с применением металлического инструмента, на отдельных участках определяются вновь образованные сосуды с пролиферацией эндотелия. Окраска гемотоксилином и эозином. Ув. x400

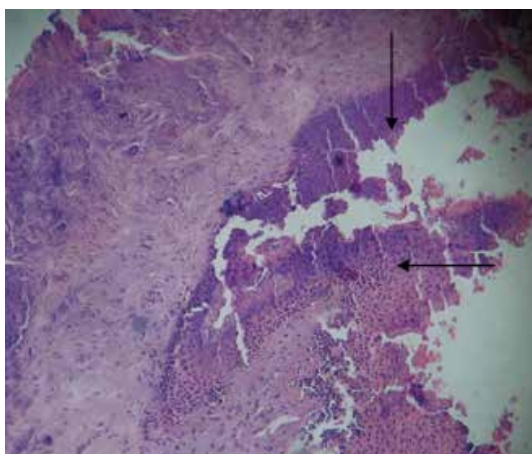


Рис. 6. Биоптат подгруппы Б (ранний послеоперационный период). Очаги некроза, окруженные воспалительной инфильтрацией (↑) на 3-и сутки после действия радионожа в режиме полностью ректифицированной формы волны. Окраска гемотоксилином и эозином. Ув. x100

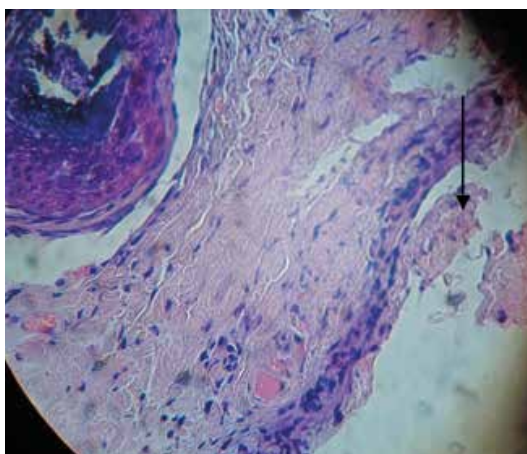


Рис. 7. Биоптат подгруппы Б (поздний послеоперационный период). Уплощение конъюнктивального эпителия, фиброз подлежащей ткани (↑) через 6 месяцев в зоне действия радионожа в режиме полностью ректифицированной формы волны. Окраска гемотоксилином и эозином. Ув. x140

При гистологическом исследовании получено, что применение электрического коагулятора с целью гемостаза при применении лезвия (подгруппа Г) ведет к формированию очагов, по периферии которых видны зоны кровоизлияния и фокусы некроза, происходит склероз тканей, что в дальнейшем ведет к сморщиванию и сокращению конъюнктивальной полости (рис. 8).

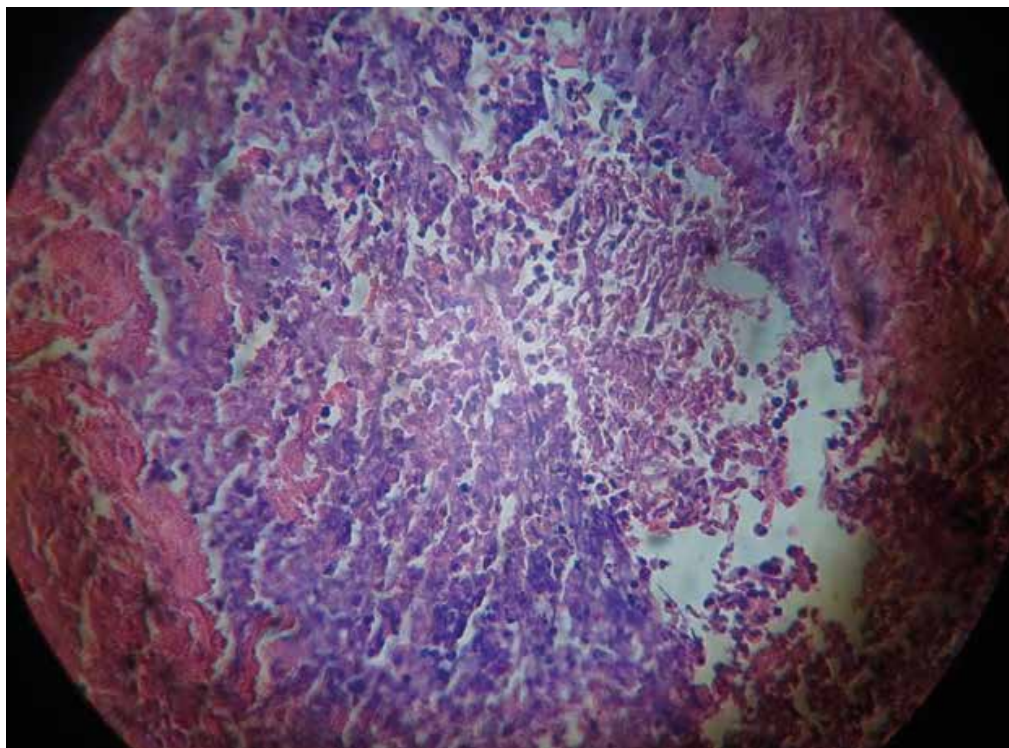


Рис. 8. Биоптат контрольной группы (применение электрического коагулятора). Формирование очагов, по периферии которых видны очаговые кровоизлияния и фокусы некроза после применения электрокоагулятора. Окраска гемотоксилином и эозином. Ув. х100

**Заключение:** Сравнительный гистологический анализ различных режимов радионожа и металлического лезвия показал, что применение радионожа в режиме полностью ректифицированной формы волны является оптимальным для рассечения тканей, так как одновременно возможно проведение разреза и коагуляции сосудов, после чего не происходит склерозирование тканей и не наблюдается сокращение и сморщивание.

#### ЛИТЕРАТУРА:

1. Лантух В.В., Лантух Е.В. Новые способы микрохирургической окулопластики // Анналы пласт. и реконструктив. Хирургии, 2005, № 3, с.80-81.
2. Лапкин К.В. Первый опыт применения радиохирургического прибора «Сургитрон» в хирургии органов билиопанкреатодуodenальной зоны // Актуальные вопросы хирургической гепатологии. Томск, 1997, с.159.
3. Лейзерман М.Г., Клешнин Д.А., Бочарова М.Б., Жарова Г.Г. Возможности и перспективы радиоволновой хирургии в оториноларингологии / Радиоволновая хирургия на современном этапе: Междунар. конгресс. М., 2004, с.216-217.
4. Лейзерман М.Г., Лесков И.В., Наседкин А.Н. и др. Сравнительное изучение радиоволнового, лазерного и ультразвукового воздействия на биологические ткани в эксперименте// Рос. Ринология, 1999, №3, с.16-18.
5. Шляхтов М.И. Радиоволновая эксцизия субэпителиальных кист конъюнктивы опорно-двигательной культи при анофтальме // Рефракционная хирургия и офтальмология, 2009, №1, с.29-33.
6. Bisaccia E., Scarboough D.A. Blepharoplasty with radiosurgical instrumentation// Cosmetic Dermatology, 1995, v.8, N2.
7. Garito J. Radiosurgery past, present, future / Materials International congress radiowave surgery and its role in modern medicine, Moscow, 2004, p.11.





**Vigadexa™**

(moxifloxacin hydrochloride 0,5% və dexamethasone  
phosphate 0,1%) Steril Oftalmoloji Məhlul

İnkişafı təmin edən kombinasiya